東シナ海上の水蒸気前線

"Water Vapor Front" over the East China Sea * 茂木 耕作 (名古屋大学地球水循環研究センター)

1. はじめに

梅雨前線帯では、対流雲域が天気図で示される 梅雨前線を挟んで南北に数百 km 以上の幅を持っ て広がることが多い。梅雨前線の北側は、比較的 層が薄く弱い寒冷気塊の上を暖湿な気塊が滑昇す る構造を考えれば、大規模な上昇気流場でまとまっ た雲域が形成されることは不自然ではない。しか し、梅雨前線の南側では、鉛直には確かに対流不 安定であるとはいえ、大規模な対流雲域が、組織 化されて発生・発達するメカニズムについての明 確な説明は、まだなされていない。本研究では、 梅雨前線の南側で組織化する対流雲域の発生要因 として、「水蒸気前線」という新しい概念を提案 する。

09 JST 27 JUNE 1999 1008 1008 30°N 25°N 130°E 125°E TBB 220 230 240 250 260 (K) 0900 (JST) 27 JUNE 1999 $33^{\circ}N$ 32°N 31°N 127°E 128°E 129°F 32 34 36 38 40 42 (dBZe)

図1 (a)1999年6月27日09JSTのGMS 赤外画像及び地上天気図と(b)高度 1.5kmにおける 09JSTの反射強度分布。

2. 「水蒸気前線」を提案する背景

図1aは、X-BAIU-99期間中の6月27日09JSTの雲画像と天気図である。梅雨前線を挟んで、中国大陸から九州にかけて南北に500km以上の幅を持つ活発な対流雲域が見られ、特に九州南西海上では、梅雨前線の南側の対流雲の発達が顕著である。その対流雲域をCバンドレーダーによる反射強度分布(図1b)で見ると、梅雨前線上の線状降水域の100km以上南側で、長さ数百kmに及ぶ別の線状降水域が発達していることが分かる。この梅雨前線の南側で発達した線状降水域は、デュアルドップラーレーダー解析結果から南西風場内に存在した弱い水平シアーライン上で形成されていたことが分かっている(Moteki et al., 2000)。

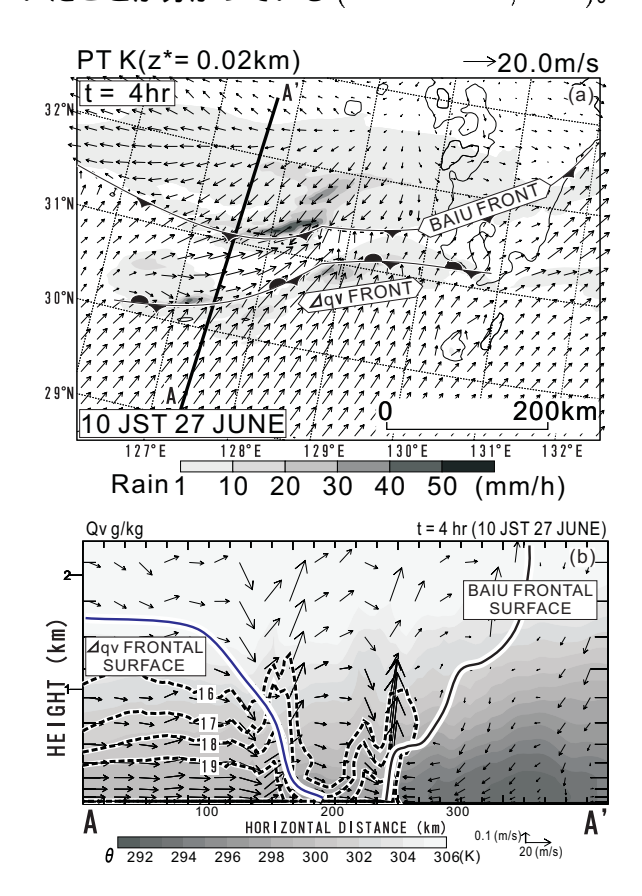


図2 5km-NHMによって再現された10JSTにおける(a)降水分布及び高度0.02kmにおける風の場、(b)AA'に沿った温位(陰影)と16g/kg以上の水蒸気混合比(破線)。やや大きな温度傾度を伴う北風成分の先端を梅雨前線本体とし、西風と南西風による弱い下層収束と顕著な水蒸気傾度を水蒸気前線として、それぞれ区別して示してある。

さらに、この2本の線状降水域を格子間隔5kmの気象研究所非静力学モデル(5km-NHM)を用いた数値実験により、南側の線状降水域を形成した弱い収束線が、強い水蒸気傾度を伴っていることが分かった(Moteki et al., 2000; Moteki et al., 2001)。図2は、5km-NHMによって再現された2本の線状降水域とその2本を横切る鉛直の温位、水蒸気構造である。南側の線状降水域を形成した弱い収束線が、厚さ2km以下で見られる強い水蒸気傾度対応していることが分かる。本研究では、この南西風場に形成される"強い水蒸気傾度を伴った弱い収束線"を「水蒸気前線」と名付け、その起源と形成過程を5km-NHMの親モデルである気象庁領域スペクトルモデル(RSM)の予報値を用いて調べた。

2. 数値実験の概要と再現性

日本周辺の約 5000km 四方を予報領域とする RSM の 24 時間積分を 6 月 26 日 21JST の初期 値を用いて行なった。天気図、GMSと比べても梅雨前線、低気圧、それに伴う雲域などの位置や広がりについては、良く予報されていた。また、図 1b と図 2a で示すように、この予報値を初期値・境界値に用いた 5km-NHMによる数値実験でも降水システムを非常に良く再現することに成功している。従って、5km-NHM をネストした時間帯よりも前の RSM による予報値は、客観解析による初期場へと戻っていくので、降水域を除いた場の再現性はかなり保証される。

3. 「水蒸気前線」の検出

本研究では、梅雨前線本体を"北風成分の先端 で最も顕著な温度傾度を伴う下層収束線"として 定義した。それに対して、図2で示したように梅 雨前線本体より南側の南西風場で高度 2km 以下 に存在する"強い水蒸気傾度を伴った弱い収束線" を「水蒸気前線」と名付けている。RSM の予報 結果において、この2本の前線を区別して検出す るために、地表の水蒸気収束場を計算した(図3)。 12JST(図 3a) では、ほぼ東西に伸びる梅雨前線と は別に、その約 100km 南側に「水蒸気前線」に 伴う弱い水蒸気収束が九州の西方海上から南西方 向へ中国大陸東岸まで連続的に伸びており、長さ は 1000km 近くに及んでいることが分かる。従っ て、この「水蒸気前線」の根源的な成因を考える 場合に、単独のクラウドクラスターのようなメソ スケール降水システムが先に発達し、その結果と して強められた水蒸気傾度及び下層収束であると いうことは考え難い。では「水蒸気前線」なるも のの起源は一体なんであろうか?

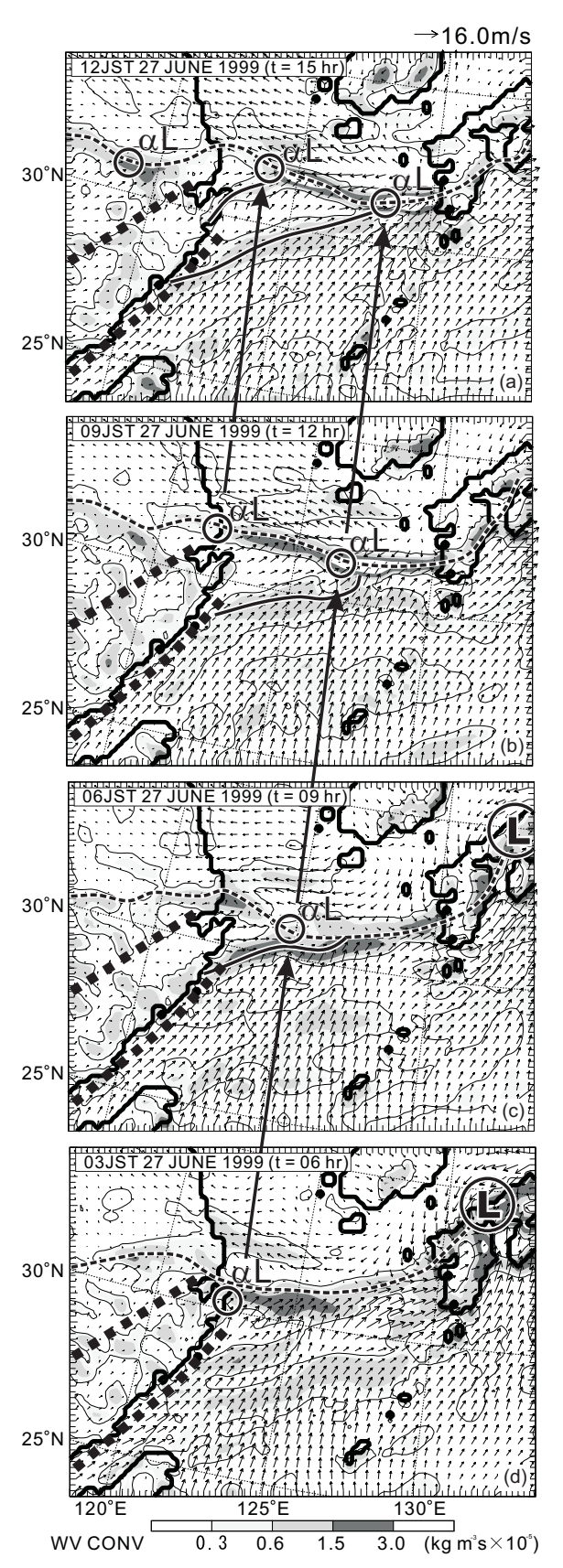


図 3 RSM の予報値から計算した (a)12JST、(b)09JST、(c)06JST、(d)03JST における地表の水蒸気収束場。L と破線は、天気図で解析される総観場の低気圧及び梅雨前線を示す。 α L と実線は、RSM の予報値において検出された、メソ α 低気圧及び水蒸気前線を示す。

4. 「水蒸気前線」の起源と形成過程

12JSTから3時間毎に9時間遡って「水蒸気前線」を辿る(図3)と、中国大陸東岸に近づくにつれ長さが短くなっている。大陸上でも弱いいくつかの水蒸気収束域が散在しているが、前線としているが、直接のな連続的なものは見られない。した点線で挟む領域で示す中国大陸の海岸によらず、恒常的に弱い水蒸気収束域となってによらず、恒常的に弱い水蒸気収束域となって間に見られた。この大陸東岸の弱いながらも恒常的な水蒸気収束域が、東シナ海上で認識される「水蒸気前線」の起源であると考えられる。そこで次なる疑問は、"大陸東岸の水蒸気収束域"が何故東シナ海上へと長さや走行を変えて東進してくるのか?、という点である。

「水蒸気前線」の起源を捉えた上で次に形成過 程を考えた時に、メソ α 低気圧との位置関係が重 要であることが分かった。図3では、RSMの予報 値において地表の気圧の極小領域として認識でき るものをメソ α 低気圧 (αL) であると判断し、そ の位置を示してある。αL は、梅雨前線本体と「水 蒸気前線」の交点に位置しており、図3dから図 1aへ時間を追うと、 α Lの東進に伴って「水蒸気 前線」の長さが伸びていることが分かる。つまり、 「水蒸気前線」は、大陸東岸部で発生した αL が東 シナ海上へ東進する際に、大陸東岸の水蒸気収束 域を海岸線から分岐させて引き出した結果として 形成されるものである。さらに、12JST には1つ 目の α L の西方500km の位置に見られる2つ目の αLに伴って、2本目の新たな「水蒸気前線」が形 成され始めていることが分かる。

従来の温帯低気圧に伴う前線についての我々の 知識からすると、簡単に前線というものを考えれ ば、寒気と暖気という2つの気塊の境界であるか ら、境界線は1本で良いことになる。しかし、一 言で暖気といっても大陸上と海洋上では、供給さ れる水蒸気や地表面加熱の量が全く異なるため、 単一の気塊として片付けてしまうには無理がある。 すなわち、梅雨前線帯には少なくとも次の3つの 気塊を分けて考えるべきである。まず、梅雨前線 本体の北側のやや冷たく乾いた気塊、そして1つ は大陸性、もう1つは海洋性の性質を持つ2つの 暖湿気塊である。3つの異なる気塊が存在するな らば、その境界としての前線と呼ぶべき構造は、 少なくとも2本必要である。大陸と海洋の境界領 域では、地表の水蒸気量の急激な変化があり、ま た、粗度の違いは、恒常的に南西風場に弱い力学 的収束を作ると考えられる。従って、2つの暖湿 気塊の境界として、「水蒸気前線」の"強い水蒸気 傾度を伴う弱い下層収束線"という特徴は、全く

矛盾していない。

5. 「水蒸気前線」の役割

「水蒸気前線」上では、本体の梅雨前線に比べると水蒸気供給は大きいが下層収束が弱く、基本的には太平洋高気圧の沈降場内に位置するので、対流不安定度は大きくとも強い降水システムには発達し難いことが推測される。しかしながら、梅雨前線本体の南側にあるということでいくつかの役割を果たすことができると考えられる。

図 4 は、RSM による地表水蒸気場に 2 本の前線と α L の位置を示したものである。1 つ目の α L が上海付近にあり「水蒸気前線」がまだ形成されていない 02JST において、東シナ海上での 18g/kg 以上の高比湿領域に注目すると、梅雨前線本体は

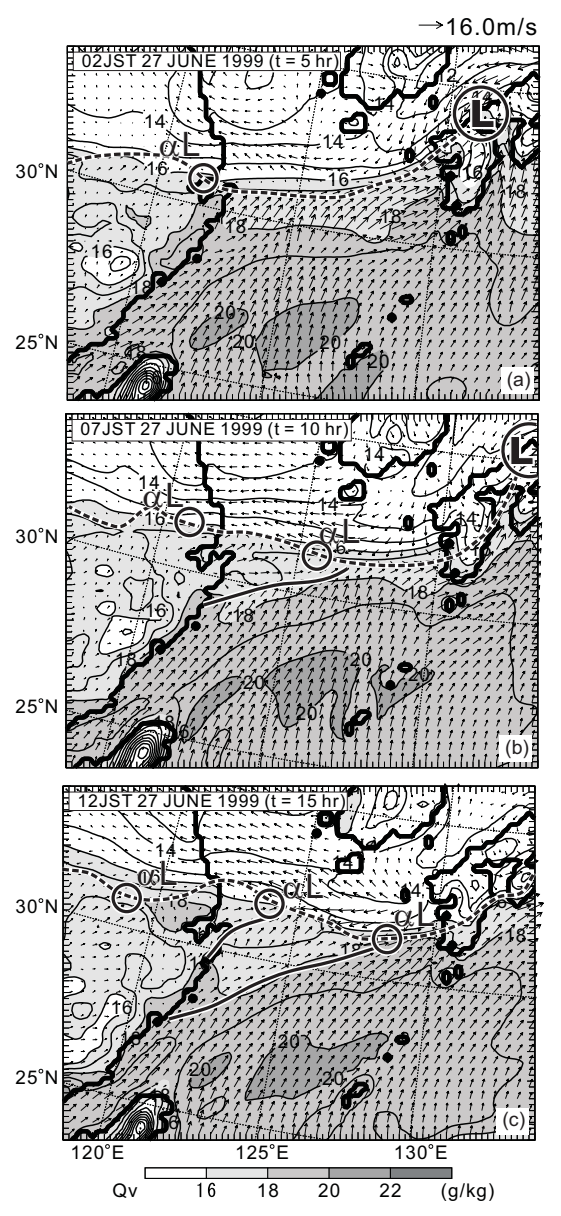


図 4 RSM による (a)02JST、(b)07JST、(c)12JST の地表水蒸気場。

その領域の200km以上北に位置している(図4a)。 5時間毎に12JSTまで見ると、18g/kg以上の高 比湿領域は、形成された「水蒸気前線」に沿って 北へ拡大しており、12JSTの九州付近では完全に 本体の梅雨前線に到達していることが分かる。

つまり、「水蒸気前線」は、より南側で降水システムを発達させ、高比湿領域を引き込むことにより本体の梅雨前線へ多量の水蒸気を供給するための仲介的な役割を担っていると考えられる。また、高比湿領域が少しでも北へ拡大していれば、本体の梅雨前線が南下する際に降水が強化されるタイミングがより早くなることは、容易に想像できる。本体の梅雨前線が南下する際には、容易に想像できる。本体の梅雨前線が南下する際には、当然その南側に位置する「水蒸気前線」と併合するという過程が起こるため、それまであまり強くなかった降水が、広範囲で急激に強化される (Moteki et al., 2000)。

さらに東シナ海上では、「水蒸気前線」上で降水システムが発生できない場合でも、諫早湾や甑島のような地形の効果と重なった場合には、降水をもたらす可能性がある。諫早湾や甑島で発生する地形性の降水システムは、梅雨期の南西風場内で発達することが知られている。しかしながら、そのような地形性の降水システムは、梅雨期のいる時も発生するわけではないので、その発達の初期要因として、「水蒸気前線」の通過が関係していることも大いに考えられる。近年の梅雨観測では、数値モデルでなかなか表現され難い地形性の降水システムに大きな関心がよせられているが、「水蒸気前線」を捉えられるような観測を行なって、その関連性を調べることも今後の1つのテーマとして興味深い。

6. まとめ

6月27日の梅雨前線帯の概念図を図5に示す。

東シナ海上では、梅雨前線の南側で中国大陸東岸 に沿った弱い恒常的な水蒸気収束域を起源として、 東西に伸びる梅雨前線とは別に梅雨前線上の αL から南西に伸びる「水蒸気前線」が形成される。 大陸性、海洋性の2つの異なる暖湿気塊の境界と して「水蒸気前線」という梅雨前線本体の南側に 形成される前線を考えることで、南北に数百 km 以上の幅を持つ"梅雨前線帯"と呼ばれる対流雲 域を容易に説明することができる。「水蒸気前線」 は、梅雨前線の南側で降水システムを発生・発達 させることで、より南側の高比湿領域を引き込み、 αL 付近での水蒸気収束を増大させて降水システ ムの強い発達を引き起こすと考えられる。また、 梅雨前線本体は、南下時において「水蒸気前線」 との併合に伴い急激な降水強化を引き起こす。さ らに、「水蒸気前線」が地形性降水システムの発達 要因となっている可能性もあり、今後予定されて いる九州地方での梅雨観測において注目される。

参考文献

Moteki, K., H. Uyeda, T. Shinoda., N. Osaki., H. Yamada., T. Maesaka., T. Kato., M. Yoshizaki, and X-BAIU-99 observation group, 2000: Structure and development of two rainband observed during X-BAIU-99. International Conference on Mesoscale Convective Systems and Heavy Rain in East Asia, 111-116

Moteki, Q., H. Uyeda, T. Maesaka., T. Shinoda., T. Kato., M. Yoshizaki, and X-BAIU-99 observation group, 2001: Meso- α -scale structure of two rainbands observed over East China Sea. International Conference on Mesoscale Meteorology and Typhoon in East Asia, 82-87

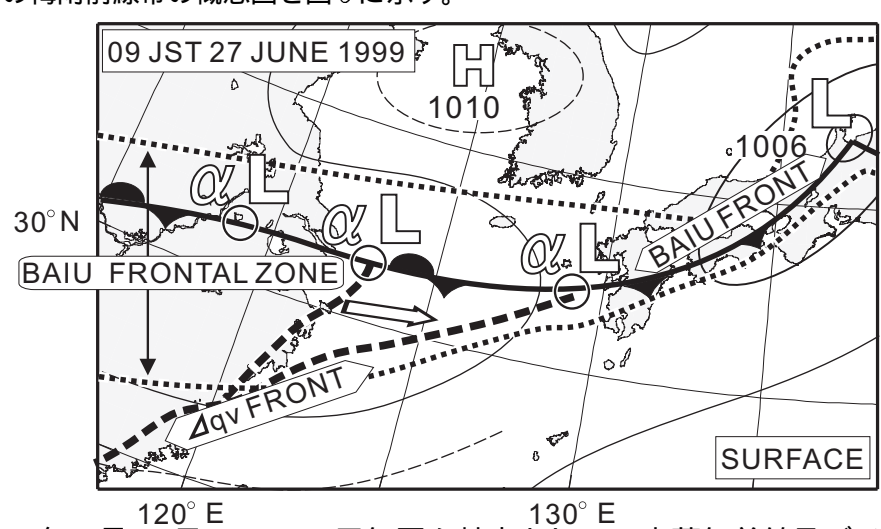


図 5 1999 年 6 月 $\overline{27}$ 日 $\overline{09}$ JST の天気図を基本として、水蒸気前線及びメソ α 低気圧を合わせて考慮した梅雨前線帯 (GMS で捉えられる雲域:点線) の概念図。